

离子液体[omim][PF₆]的生物降解性研究

戴宁¹, 张凤君^{1*}, 陈继², 李刚³, 邓岳峰², 李隋^{1,4}

(1. 吉林大学环境与资源学院,长春 130026; 2. 中国科学院长春应用化学研究所稀土化学与物理重点实验室,长春 130022;

3. 吉林省产品质量监督检验院,长春 130022; 4. 伊尔姆环境资源管理咨询(上海)有限公司,上海 200001)

摘要:以[omim][PF₆]为C、N、P营养源驯化活性污泥,考察驯化前后不同活性污泥接种微生物时离子液体的生物降解性,以及在支链上添加酯基对离子液体生物降解性的影响;同时,探讨经过驯化的活性污泥对1-甲基-3-辛基咪唑阳离子基团([omim]⁺)生物降解的途径。结果表明,通过在支链上添加酯基,可以改善离子液体的生物降解性;以普通的活性污泥为接种微生物的密闭瓶实验表明,[omim][PF₆]的生物降解率<20%,属于难生物降解的物质,进入环境后可能产生较长时间的积累;以经过驯化的活性污泥为接种微生物时,可以提高[omim][PF₆]的生物降解率到60%左右;在[omim]⁺的生物降解过程中,会产生1-甲基咪唑阳离子的积累;对[omim]⁺的生物降解产物的HPLC-MS/MS分析,初步推測[omim]⁺的生物降解途径。

关键词:[omim][PF₆]; 生物降解性; [omim]⁺; 降解途径

中图分类号:X172 文献标识码:A 文章编号:0250-3301(2009)02-0480-04

Biodegradation of [omim][PF₆]

DAI Ning¹, ZHANG Feng-jun¹, CHEN Ji², LI Gang³, DENG Yue-feng², LI Sui^{1,4}

(1. College of Environment and Resources, Jilin University, Changchun 130026, China; 2. Key Laboratory of Rare Earth Chemistry and Physics, Changchun Institute of Applied Chemistry, Chinese Academy of Sciences, Changchun 130022, China; 3. Institute of Supervision & Inspection on Product Quality of Jilin Province, Changchun 130022, China; 4. ERM Consult (Shanghai) Company Ltd., Shanghai 200001, China)

Abstract: Acclimatized the activated sludge with [omim][PF₆] which was used as the C, N, P resources for microbe, the biodegradation ratio of [omim][PF₆] with different inoculants which were acclimatized or not was investigated. And the influence of appending an ester in the side chain of the imidazolium cation on the biodegradation of [omim][PF₆] was discussed in the same conditions. The biodegradation pathways of [omim]⁺ were analyzed. The results showed that the biodegradation of ionic liquids was improved by appending an ester in the side chain; the biodegradation rate of [omim][PF₆] was less than 20% when the inoculant was original activated sludge, which was not referred as “readily biodegradable”; [omim][PF₆] would stay in environment for a long time; the biodegradation ratio reached 60% when the inoculant was acclimatized activated sludge; 1-methyl-imidazolium was residual in the course of biodegradation of [omim]⁺, the semifinished products of biodegradation of [omim]⁺ was analyzed by HPLC-MS/MS and the pathways were presumed.

Key words:[omim][PF₆]; biodegradation; [omim]⁺; pathways

离子液体是一类由离子组成的室温下呈液态的物质,一般由有机阳离子和无机阴离子组成,具有不挥发、不易燃、热稳定等性质,使其作为绿色介质在有机合成、两相催化和物质分离等领域受到广泛关注^[1,2]。离子液体被认为是“绿色化学”介质,主要由于其低蒸气压、易再生循环和适应于接触反应过程等性质,而并非真正意义上对环境和健康的“绿色”。各种化学物质的发展,首先要考虑其对环境和人类健康的影响。随着离子液体研究的深入,应用领域的不断开拓,各种功能化离子液体不断合成,而关于这一类物质的生物降解性、毒理学、生态毒理学的研究却开展得比较少^[3],目前主要有Jastorff等^[3]和Gathergood等^[4]在做这方面的工作,基础数据和结论还不是很全面。从这个角度说,离子液体对环境的风

险还没有引起足够的重视。正因为离子液体是一类有广阔的应用前景的化学物质,其溶解度和辛醇-水分配系数等性质决定了离子液体存在大量进入环境,对人类健康造成影响的可能性,其对环境以及健康的风险评价研究十分有意义。

生物降解性表示物质可被环境微生物接受的程度,可以体现物质在环境中积累时间的长短,是评价新物质对环境安全性的重要指标。离子液体的种类

收稿日期:2008-02-15; 修订日期:2008-05-21

基金项目:吉林大学“985工程”项目;吉林大学研究生创新基金项目;国家水体污染控制与治理科技重大专项(2008ZX07207-007-04);国家科技支撑计划项目(2006BAJ08B09);国家高技术研究发展计划(863)项目(2007AA06A410)

作者简介:戴宁(1982~),女,博士研究生,主要研究方向为水处理技术,E-mail: daining@email.jlu.edu.cn

* 通讯联系人, E-mail: zhangfengjun@jlu.edu.cn

繁多,目前对其生物降解性的研究往往从各种离子液体间的规律入手,集中在3方面^[3~12]:①不同阳离子类型的影响;②不同阴离子类型的影响;③支链不同碳原子个数的影响。有研究表明^[12],参考改善表面活性剂生物降解性的经验,在支链上添加酯基,有助于提高离子液体的生物降解性。本研究选择1-甲基-3-辛基咪唑六氟磷酸盐([omim][PF₆],以下简称离子液体1),以其为C、N、P源驯化活性污泥,考察驯化前后离子液体1和1-甲基-3-(戊酯基)己基咪唑溴化物(以下简称离子液体2)生物降解性的变化,分析在支链上添加酯基对生物降解性的影响;同时,分析经过驯化的活性污泥对[omim][PF₆](1-甲基-3-辛基咪唑六氟磷酸盐)生物降解的中间产物,初步讨论阳离子基团的生物降解机制。2种离子液体的结构式见图1。

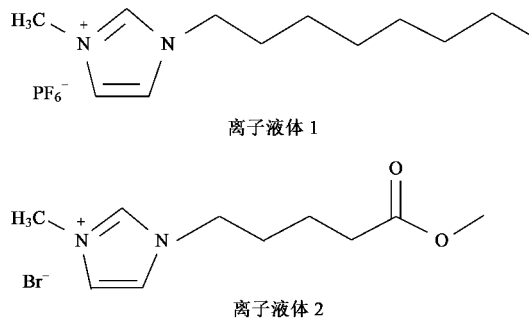


图1 2种离子液体结构式

Fig.1 Structures of the two ionic liquids

1 材料与方法

1.1 离子液体

实验所用离子液体均由长春应用化学研究所提供,纯度>99%。

1.2 活性污泥的驯化

原始活性污泥取自长春一汽废水处理厂曝气池。以离子液体1为唯一C、N、P源,适当补充Mg、Fe、Ca等微量元素,对1L活性污泥进行培养驯化。逐渐提高离子液体1的浓度,从10~90 mg·L⁻¹(COD值为21~184 mg·L⁻¹),停留时间23 h,沉淀1 h,检测每天进出水COD浓度。连续驯化28 d后,当进水离子液体1的浓度为90 mg·L⁻¹时,COD去除率>85%,驯化结束。

1.3 生物降解率的测定

采用密闭瓶法测定2种离子液体的生物降解率^[13]。每组实验设2组平行,同时监测DO值在28 d内的变化,平行数据差<10%,取平均值。根据离子

液体的结构式,计算其理论需氧量,在实验检测范围内,每种受试物选择5 mg·L⁻¹和8 mg·L⁻¹2个浓度。按公式(1)和公式(2)计算离子液体在该实验条件下的降解率。接种微生物分别为原始活性污泥和驯化28 d的活性污泥沉淀1 h后的上清液。

BOD =

$$\frac{\text{受试物氧消耗(mg/L)} - \text{空白对照氧消耗(mg/L)}}{\text{试验瓶中受试物的浓度(mg/L)}} \\ = \frac{\text{氧(mg)}}{\text{受试物(mg)}} \quad (1)$$

$$\text{降解率} = \frac{\text{BOD(氧 / 受试物)}}{\text{ThOD(氧 / 受试物)}} \times 100\% \quad (2)$$

1.4 离子液体阳离子部分生物降解产物的HPLC-MS/MS分析

驯化28 d的活性污泥,在停留时间分别为0.5、1、2、4、8和24 h时,取上清液,稀释10倍,做HPLC-MS/MS分析。色谱型号及条件:Agilent 1100N液相色谱仪,1946C单四极杆质谱检测器,二极管阵列紫外检测器,phenomenex Onyx Monolithic C18 4.6×100 mm色谱柱。流动相:乙腈-0.1%TFA水溶液梯度洗脱。流速:4 mL·min⁻¹。柱后分流10:1。质谱条件:阳离子扫描模式;质量扫描范围:50~700 u;碎裂电压:70V;毛细管电压:4 000 V;干燥气流量:10 L/min;干燥气温度:350℃;喷雾压力:35 Psi。

2 结果与讨论

2.1 2种离子液体的生物降解性

当接种微生物为普通活性污泥上清液时,不同浓度受试物的降解率如图2所示。可以看出,①不同浓度的不同物质,在28 d的实验中,其降解率变化很小;②SDS(十二烷基硫酸钠)的生物降解性明显好于离子液体;③离子液体2的生物降解性好于离子液体1;④当受试物浓度提高时,降解率略有下降。其中①~③基本符合Gathergood等^[4]的结论。

当接种微生物为以离子液体1驯化的活性污泥上清液时,不同浓度受试物的生物降解率如图3所示。可以看出,与普通的活性污泥微生物相比,离子液体1的生物降解率有明显的提高。当离子液体1的浓度为5 mg·L⁻¹时,28 d的降解率>60%,其他曲线的趋势与图2相同。说明通过适当的驯化,活性污泥微生物可以适应并降解以离子液体1为代表的这一类离子液体。理论认为,在28 d内,降解率>60%被认为是“易生物降解物质”^[12]。实验表明,离子液体作为一类新物质,相对于SDS,生物降解性较差,活性污泥作为种群丰富,适应能力强的环境微生物,

在短期内对其没有表现出良好的适应性,离子液体进入环境后,可能产生较长时间的积累。但微生物对新物质的适应需要适当的过程,通过对微生物的适

当驯化,以离子液体 1 为代表的咪唑类离子液体是有可能成为“易生物降解物质”的,这为人们选择生物法去除环境中的离子液体提供了可能性。

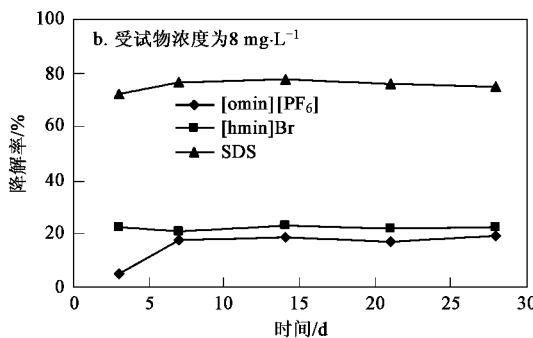
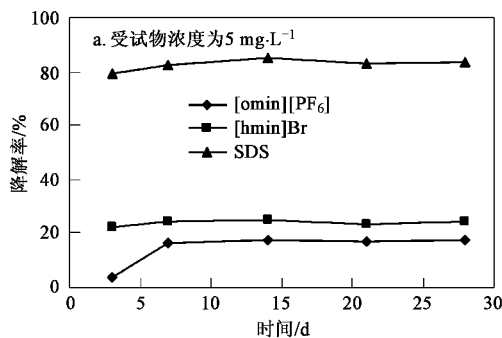


图 2 接种微生物为未经驯化活性污泥时不同受试物的生物降解率

Fig. 2 Biodegradation of different substances when inoculant was original activated sludge

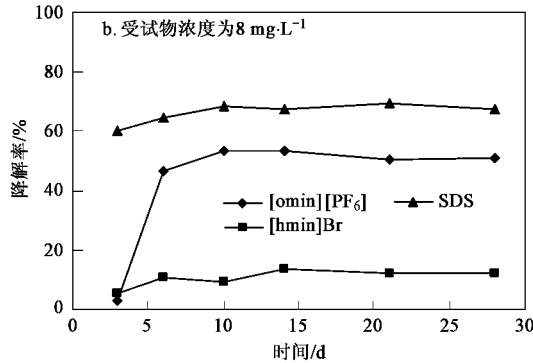
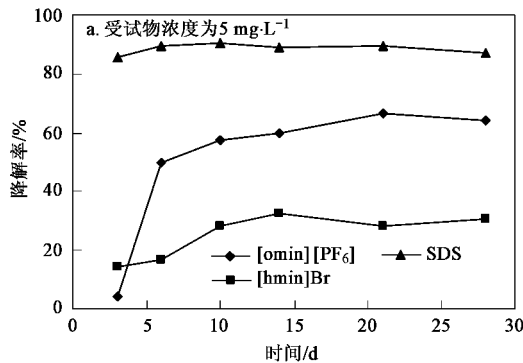


图 3 接种微生物为经过驯化活性污泥时不同受试物的生物降解率

Fig. 3 Biodegradation of different substances when inoculant was acclimatized activated sludge

2.2 $[\text{omin}]^+$ 及其生物降解中间产物分析

2.2.1 $[\text{omin}]^+$ 及其生物降解中间产物随停留时间的变化

离子液体的生物降解主要是有机阳离子的生物降解。在经过驯化的活性污泥体系中, $[\text{omin}]^+$ 的降解中间产物浓度随停留时间的变化如图 4 所示。可以看出, $[\text{omin}]^+$ 的分子量为 195, 经过驯化的活性污泥微生物对 $[\text{omin}]^+$ 表现了良好的代谢活性, 在前 8 h, $[\text{omin}]^+$ 浓度就已降至较低。在 $[\text{omin}]^+$ 浓度降低的同时, 出现了分子量为 83 的中间产物的积累, 推测为 1-甲基咪唑, 生物降解的断键形式如图 5 所示。咪唑环在结构上与苯相似, 环中各原子构成一个环闭的共轭体系, 电子云分布均匀, 分子成平面型, 较难被微生物降解^[14], 所以需要的降解时间较长, 并产生了少量积累, 通过延长停留时间的方法, 咪唑环可以得到进一步的降解。

2.2.2 $[\text{omin}]^+$ 的生物降解途径分析

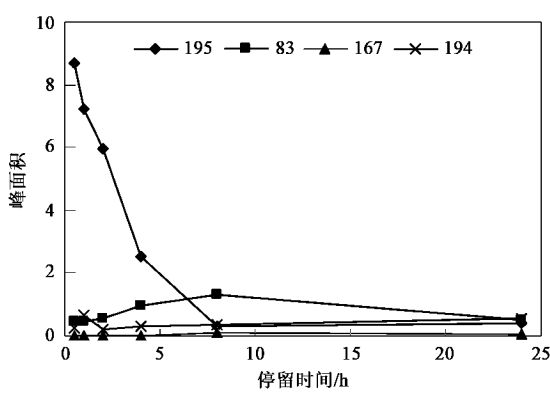
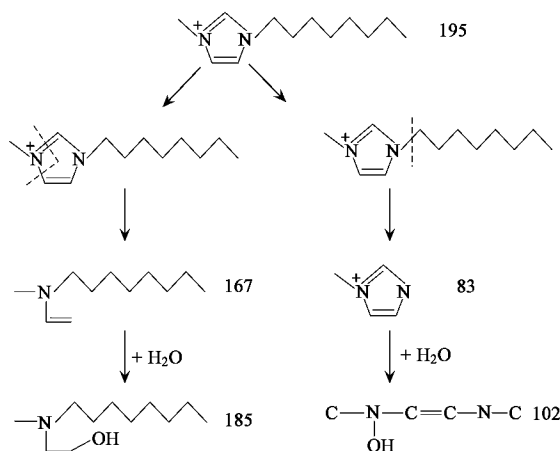
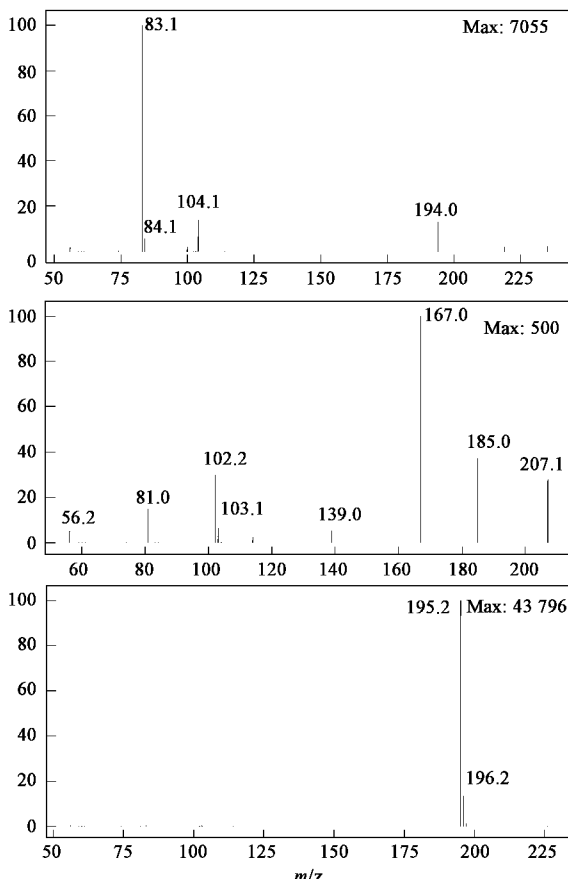


图 4 $[\text{omin}]^+$ 其生物降解中间产物浓度随停留时间变化

Fig. 4 Concentration change of products of biodegradation of $[\text{omin}]^+$

为进一步了解 $[\text{omin}]^+$ 的生物降解中间产物的种类及其在活性污泥中积累的程度, 将不同停留时间的活性污泥上清液做 HPLC-MS/MS 分析, 质谱图如图 6 所示。主要产物的分子式为 195、83、167 和 185 等。

图 5 [omim]⁺ 的生物降解途径Fig.5 Pathways of biodegradation of [omim]⁺图 6 [omim]⁺ 的生物降解产物质谱图Fig.6 Mass spectrum of products of biodegradation of [omim]⁺

根据检测到的产物分子量，初步推测[omim]⁺的生物降解途径如图5所示。由于咪唑环上2个N原子的失电子能力不同，[omim]⁺的生物降解有2个主要的途径，均以氧化反应为主，且所产生的中间产物均降低[omim]⁺的生物毒性，说明生物法是去除以[omim][PF₆]为代表的离子液体的有效方法。

3 结论

(1) 通过在支链上添加酯基，可以改善离子液体的生物降解性，但普通的环境微生物对离子液体的适应性较差，离子液体28 d生物降解率小于SDS，属于难生物降解的物质，进入环境后会产生较长时间的积累。

(2) 以经过驯化的活性污泥上清液为接种微生物，可以提高离子液体1的生物降解性。

(3) 由于咪唑环较难被微生物降解，在[omim]⁺的生物降解中，产生1-甲基咪唑的积累，通过延长停留时间，可以得到进一步的降解。

(4) 由于咪唑环上2个N原子的失电子能力不同，[omim]⁺的生物降解有2个主要的途径，均以氧化反应为主。

参考文献:

- [1] 柯明,周爱国,宋昭峰,等.离子液体的毒性[J].化学进展,2007,19(5):671-679.
- [2] 胡雪生,余江,夏寒松,等.离子液体的绿色合成及环境性质[J].化学通报,2005,12:906-910.
- [3] Jastorff B, Störmann R, Ranke J, et al. How hazardous are ionic liquids? Structure-activity relationships and biological testing as important elements for sustainability evaluation[J]. Green Chemistry, 2003, 5: 136-142.
- [4] Gathergood N, Garcia T M, Peter J S. Biodegradable ionic liquids: Part I. Concept, preliminary targets and evaluation [J]. Green Chemistry, 2004, 6: 166-175.
- [5] Stolte S, Arning J, Ulrike B W, et al. Anion effects on the cytotoxicity of ionic liquids[J]. Green Chemistry, 2006, 8: 621-629.
- [6] Gathergood N, Peter J S, Garcia T M. Biodegradable ionic liquids: Part III The first readily biodegradable ionic liquids[J]. Green Chemistry, 2006, 8: 156-160.
- [7] Stolte S, Arning J, Ulrike B W, et al. Effects of different head groups and functionalised side chains on the cytotoxicity of ionic liquids[J]. Green Chemistry, 2007, 9: 760-767.
- [8] Jastorff B, Möller K, Peter B, et al. Progress in evaluation of risk potential of ionic liquids-basis for an eco-design of sustainable products[J]. Green Chemistry, 2005, 7: 362-372.
- [9] Ranke J, Möller K, Stock F, et al. Biological effects of imidazolium ionic liquids with varying chain lengths in acute *Vibrio fischeri* and WST-1 cell viability assays[J]. Ecotoxicology and Environmental Safety, 2004, 58: 396-404.
- [10] Matsumoto M, Mochiduki K, Kondo K. Toxicity of Ionic Liquids and Organic Solvents to Lactic Acid-Producing Bacteria[J]. Journal of Bioscience and Bioengineering, 2004, 98(5): 344-347.
- [11] Składanowski A C, Stepnowski P, Kleszczynski K, et al. AMP deaminase in vitro inhibition by xenobiotics A potential molecular method for risk assessment of synthetic nitro- and polycyclic musks, imidazolium ionic liquids and *N*-glucopyranosyl ammonium salts[J]. Environmental Toxicology and Pharmacology, 2005, 19: 291-296.
- [12] Garcia T M, Gathergood N, Peter J S. Biodegradable ionic liquids: Part II. effect of the anion and toxicology[J]. Green Chemistry, 2005, 7: 9-14.
- [13] 国家环境保护总局. 化学品测试方法[M]. 北京:中国环境科学出版社, 2004.350-356.
- [14] 汪小兰.有机化学[M].(第三版).北京:高等教育出版社, 1997.285.